

立命館大学工学部 正員 大同淳之

1. はしがき 渓流では h/d が3程度で礫の移動が観測される. h/d が小さい場での砂の移動は, h/d によって pickup rate, 水路床を構成する粒径 d_s とその上を移動する粒径 d との比 d_s/d によって移動特性が異なるので, 全流砂量は, 平均粒径で代表できず粒径ごとの移動量の和となる. 本文は粒径 d_s で構成される水路床が安定, すなわち河床に作用するせん断力 τ_0 が $\tau_0/\tau_{cs} \approx 1$ のときに, $d > d_s$ の砂礫の移動過程を測定して, 混合粒径の流砂量式の基礎資料を得んとするものである.

2. 相対水深が小さい場での粒径の違いによる移動機構の差

混合粒径の流砂の移動は, 相対水深が小さいとき流れの規模と砂の大きさで次のように分類される

表1 d_s の砂面に乗った径 d の砂の移動形式

τ_* の大きさ	d_s の砂面に乗った砂の移動可能径
1) $\tau_* < \tau_{*cs}$	$d < d_s$ 砂面安定
2) $\tau_* \approx \tau_{*cs}$	$d > d_s, d < d_s$ 砂面安定
3) $\tau_{*cs} < \tau_*$	砂面が不安定

本文は2)の領域を扱う.

3. 一様粒径 d_s の砂床上におかれた $d > d_s$ の粒径 d の掃流力 τ_0 が $\tau_0/\tau_{cs} \approx 1$ のときの流動域

3.1 $d > d_s$ の砂の転動可能条件

砂面上に $d > d_s$ の砂が乗る条件は別に扱うとして, 流れの強さが d_s の砂が動かない範囲で, d_s より大きい砂 d の転動条件を求める. 図1に示す球状の直径 d の砂の転動限界は, 図中のA点を支点として転動で動くとするとき, 図中に示す記号を用いて,

$$\left\{ (\alpha - \rho)Kvd^3g \cos\theta - \frac{\rho}{2}C_Lk_a d^2 \bar{u}^2 \right\} \left(\frac{d}{2} \sin\phi \right) + \frac{\rho}{2}C_Dk_a d^2 \bar{u}^2 \left(\frac{d}{2} \cos\phi + a \right) = 0 \quad (1)$$

Kv, Ka は, 砂の体積係数および面積係数, \bar{u} は砂に作用する流速の平均値, a は砂の重心と流速の作用点との距離である. 1)式で決まる限界流速 \bar{u} を $\bar{u}^2 = K_c \bar{u}^2_{*c}$ とし流れの規模が d_s の限界掃流力に等しいとき $d > d_s$ の砂の転動可能領域は $a=0$ のとき2)式ようになる. ここに摩擦角 ϕ は d/d_s の

Keyword: 流砂量, 混合粒径, 相似則

連絡先 (525 8577 草津市野路東 Tel 077-566-1111, Fax 077-561-2667)

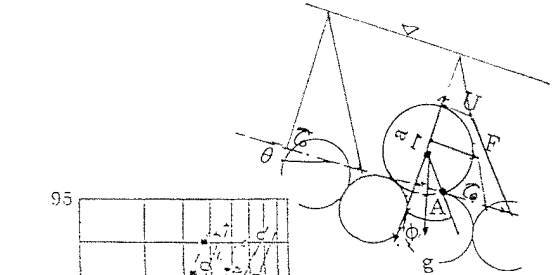


図1 記号

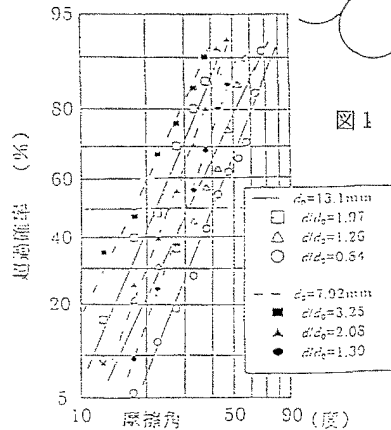


図2 河床の摩擦角の分布

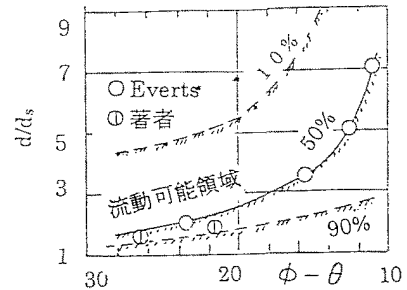


図3 $\tau_0 \approx \tau_{cs}$ のときに d/d_s の砂の移動可能領域

$$\frac{d}{d_s} < Kc \frac{\beta Ka}{Kv} \left\{ \frac{C_D}{2} \left(1 + \frac{a}{(d/2) \cos\phi} \right) + \frac{C_L \tan\phi}{2} \right\} \cos\theta \tan\phi \quad (2)$$

関数である. 砂面は流れによってみかけ上平坦にならされているとしても凹凸をもつ不均一な場である. 固定した d_s の面の上に砂面を傾けて石の動きはじめる角を摩擦角 ϕ として測定した結果は図2のような面的に分布を示す. この値を2)式に用いる. Kc は勾配が緩いときには岩垣式³⁾, 勾配が急なときは芦田らの式⁴⁾を用い, $C_D = C_L = 0.4, Ka/Kv$ は石が

球状として $3/2$ として計算した、砂面を形成する粒径 d_s が動かず、 d_s より大きい粒径 d の移動可能な範囲は図3に示される。表2で実験した結果は範囲内にある。摩擦角は50%相当値を用いた2)式に0.9を掛けた値がEverts⁵⁾の実験結果と一致する。著者の実験は活発に移動した粒径を示し、最大径ではない。もちろん摩擦角は図2のように分布をもつので、境界線は図3のように幅をもつ。

3. 2 $\tau_* \equiv \tau_{*c_s}$ の条件での移動可能流砂量

砂の移動は間欠的で常に単一粒子である。河床に作用するせん断力は、砂が存在するとき、水のせん断力に砂の質量力の x 方向分力の加わり、時間的、場所的に変化する。流れは1)式を変形した3)式を越える規模が必要である。

$$\tan \phi \leq \frac{c_D k_a u^2}{2 k_v d} \left/ \left\{ \left(\frac{\sigma}{\rho} - 1 \right) g \cos \theta - \frac{C_L k_a}{2 k_v d} u^2 \right\} \right. \quad (3)$$

流動可能な流砂量をエネルギーから求める。二つの断面間の流れのエネルギーの平衡は、 $E_{w1} + Z = E_{w2} + E_f + E_{in}$ (4)。ここに E_{w1} 、 E_{w2} は断面1、2における水のエネルギー、 Z は基準面の差、 E_f は底面せん断力により失われるエネルギー、 E_{in} は抗力として砂に供給されるエネルギーである。 d_s で構成されている砂面上で d の砂を流すためには、 E_{in} が必要でその分だけ水深の増加が必要で、与えられた水理条件の下で、動かし得る砂の量は、この E_{in} の範囲となる。一方、砂が流れの中を N 箇移動しているとき、砂粒子のエネルギーの平衡は、砂の移動距離 L の平均値を区間として $\phi s + E_{in} = E_s + W_f$

5), ここに、 ϕs : 砂粒子のポテンシャル差、 E_{in} : 砂が水から受けるエネルギー、 E_s : 運動中の砂のエネルギー、 w_f : 砂の移動に伴う散逸エネルギーである。

$$\phi s = (\alpha - \rho) N K_s d^3 g L / 2 \quad (6) \quad E_{in} = N \rho C_D K_s D^3 \left\{ \left(\frac{u - u_s}{2} \right)^2 \right\} (L / 2) \quad (7)$$

である。

可能流砂量は、 E_{in} を求めることに相当する。

7) 式の $(u - u_s)$ は砂の運動式

$$\sigma \frac{\pi d^3}{6} \frac{du_s}{dt} = C_D \frac{\rho \pi d^2}{2} - \left\{ (\sigma - \rho) \frac{\pi d^3}{6} g \cos \theta - C_L \frac{\rho \pi d^3}{4} (u - u_s)^2 \right\} u_s - \frac{\rho \pi d^3}{2} \frac{du_s}{6} + (\sigma - \rho \cos \theta) \frac{\pi d^3}{6} g \sin \theta \quad (8)$$

表2 $d > d_s$ の流量可能測定範囲

d_s	d	d/d_s	h/d	I_0
1.67cm	1.67cm	1.0		0.038
"	2.64	1.58	2.1~3.0	"
"	2.92	1.74	2.1~3.0	"

砂の中心軸の角運動式、床面での接触点での条件

$$(I + I_v) d \omega / dt = F(d/2), \quad u_s - (d/2) \omega = 0 \quad (9)$$

ここに、 I : 砂の中心軸の慣性二次モーメント、 I_v : 仮想質量力の慣性二次モーメント、 ω : 砂の中心軸に関する角速度、を用いた、 $t=0$ で $u_s=0$ の解は、

$$\left(u - u_s \right) = \frac{3}{4} \left\{ \frac{A_r C_D}{\left(\left(\sigma / \rho \right) - \cos \theta \right)} \frac{u \cdot u^2}{\sin \theta g d} + u \cdot \tan \left\{ \left(\sigma / \rho \right) - \cos \theta \right\} \sin \theta \frac{g(t-t^*)}{u} \right\} \quad (10)$$

である。 L の値は $L = k_L d$ 、 $k_L = 100$ とできる。単位面積あたり N 箇の砂が動いているとき、抵抗の線形性を仮定すると、動いている砂による水深の増加は、つぎのようにあらわされる。

$$\Delta h^* = (N / 2 \rho g \sin \theta) C_D k_a d^2 (u - u_s) \quad (11)$$

しかし、 $d/d_s > 1$ のとき摩擦角が減少して砂が移動しやすい条件下にある。

3. 3 実験

表2の砂で実験を行なった。水深の基準線は d_s の頭部を連ねた線から $d_s/4$ 下げた位置とする。図4に d/d_s による限界掃流力の減少を示す。流砂量と水深の増加量を図5に示す。 Δh をいくらにするかで流砂量がきまるが、式との比較はもう少しデータの集積して行なう。

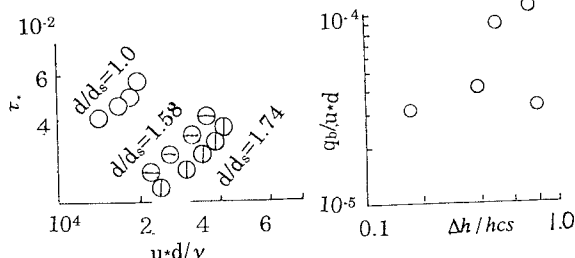


図4 $d/d_s > 1$ における限界掃流力の減少 図5 流砂による水深の増加

- 1) 岩垣; 土木学会論文集、第41号、1956、
- 2) 芦田ら; 京大防災研究報 16号B昭48、
- 3) Everts; C.H.; ASCE.wv4,Nov,73
- 4) 関根ら; 土木学会論文集、351/-2、84
- 5) 土屋ら; 京大防災研年報、12、B、s 44